

# МНОГОФОТОННАЯ ДИССОЦИАЦИЯ КЛАСТЕРОВ $\text{CF}_3\text{I}$ ЛАЗЕРНЫМ ИК-ИЗЛУЧЕНИЕМ

*В. Н. Лохман, Д. Д. Огурок, Е. А. Рябов\**

*Институт спектроскопии Российской академии наук  
142190, Троицк, Московская обл., Россия*

Поступила в редакцию 28 ноября 2008 г.

Представлены результаты исследования диссоциации кластеров  $(\text{CF}_3\text{I})_n$  при резонансном возбуждении колебаний молекул  $\text{CF}_3\text{I}$  импульсным излучением  $\text{CO}_2$ -лазера. Изучена кинетика распада этих кластеров. Измерены значения выхода диссоциации. Показано, что его величина определяется плотностью потока энергии  $\Phi_{IR}$  прошедшего ИК-излучения, и характер этой зависимости имеет экспоненциальный вид. На основе проведенных измерений показано, что время жизни кластеров относительно распада составляет менее  $10^{-8}$  с. Измерены скорость и поступательная температура образующихся при распаде кластеров свободных молекул  $\text{CF}_3\text{I}$ , а также зависимость этих параметров от  $\Phi_{IR}$ . Сделан вывод, что при реализованных условиях ИК-возбуждения процесс распада кластеров  $(\text{CF}_3\text{I})_n$  можно рассматривать как процесс последовательного испарения молекул.

PACS: 36.40.-c, 36.40.Vz, 36.40.Qv, 33.80.Rv

## 1. ВВЕДЕНИЕ

Изучению атомарных и молекулярных кластеров посвящено большое число исследований. В значительной мере это связано с тем обстоятельством, что кластерные частицы являются неким промежуточным, переходным состоянием вещества между твердым телом или жидкостью и свободными атомами или молекулами. Изучение этого перехода частиц в конденсированное состояние само по себе представляет большой интерес. Кроме того, оказалось, что кластеры обладают целым рядом уникальных характеристик, интересных, в том числе, и для практических применений. Соответствующие данные о методах получения кластеров, их свойствах и применениях можно найти, в частности, в монографиях [1–4] и обзорах [5–7], а также в цитированной там литературе.

Основной целью данной работы является изучение возбуждения и последующего распада (диссоциации) молекулярных кластеров при резонансном воздействии ИК-излучения на колебания образующих кластер молекул. Мотивация этих исследований, в свою очередь, связана с изучением более шир-

рого круга вопросов, которые до сих пор остаются в значительной мере не изученными:

как наличие межмолекулярного (в том числе ван-дер-ваальсова) взаимодействия в кластерах влияет на динамику колебательного возбуждения хромофорной молекулы ИК-излучением?

степень локализации энергии в молекуле и ее релаксация, в том числе во внутренние степени свободы кластера («внутрикластерная»), время жизни (относительно распада) возбужденного кластера и возможность его значительного перевозбуждения, «статистичность» распада;

можно ли при быстром вводе энергии, используя импульсы излучения малой длительности, осуществить «взрывной» тип распада кластера?

Энергия связи в молекулярных кластерах (с ван-дер-ваальсовым или водородным типом связи) сравнительно невелика — обычно не превышает 0.5 эВ [1]. Поэтому поглощение даже одного ИК-кванта, особенно в ближней области ИК-спектра, часто является достаточным для диссоциации кластеров. Это обстоятельство легло в основу весьма удобного способа измерения спектров ИК-поглощения в кластерах (infrared photodepletion spectroscopy). Для измерения этих спектров используются различные перестраиваемые по частоте

\*E-mail: ryabov@isan.troitsk.ru

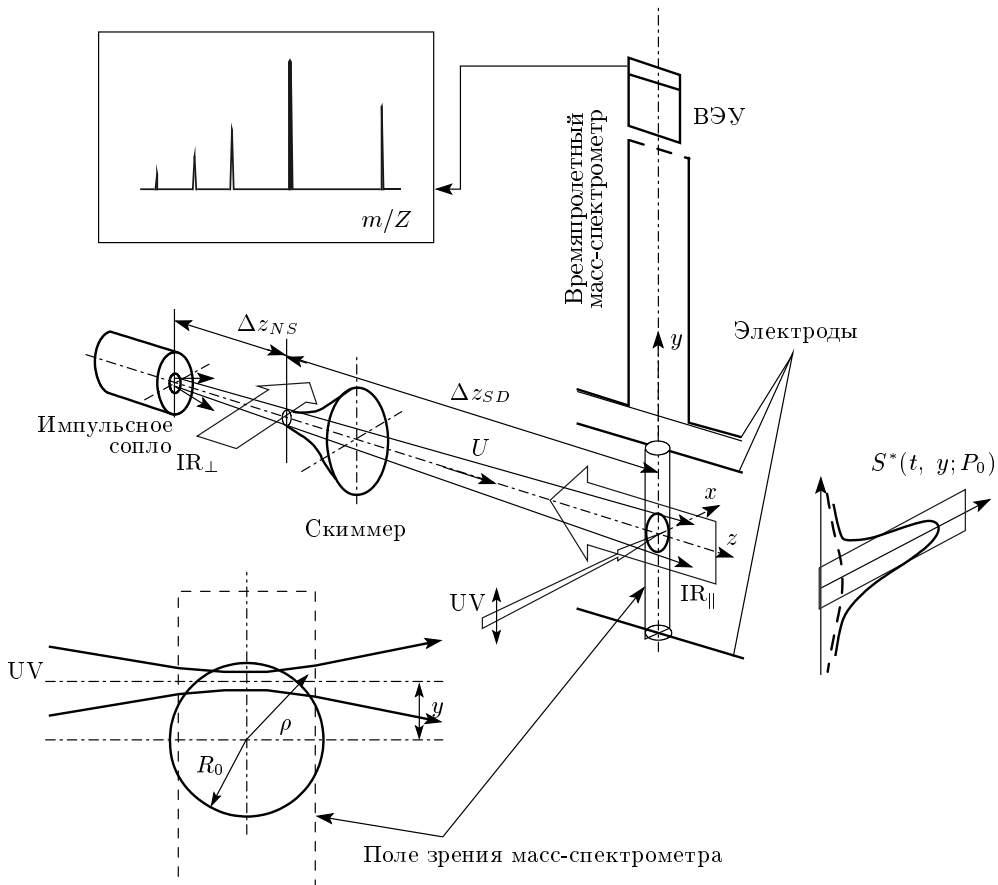
лазеры [1], в том числе в последнее время — лазеры на свободных электронах [8]. Полученные таким образом ИК-спектры использовались в первую очередь для анализа пространственной структуры кластеров [8–10]. Помимо этого, фотодиссоциационные спектры использовались также для получения информации о внутрикластерной динамике, в частности, о скоростях распада кластеров. Для этого использовались данные о ширине спектров и сдвиге этих спектров относительно спектров свободных молекул [9]. Были достаточно подробно исследованы сравнительно простые системы на основе димеров и тримеров HF (DF) и соединений этих молекул с благородными газами (см. [11, 12]). Полученные значения времени жизни относительно распада для димеров лежат в пределах 0.5–30 нс [12]. Исследовались также и более сложные системы — кластеры на основе многоатомных молекул, таких как  $\text{C}_2\text{H}_4$ ,  $\text{CH}_3\text{OH}$ ,  $\text{N}_2\text{H}_4$  и др., см. обзоры [13, 14]. Там же приведены полученные значения времени жизни  $\tau$ , которые лежат в пределах  $10^{-12}$ – $10^{-6}$  с. Необходимо, однако, отметить, что интерпретация результатов в этом случае является менее однозначной. Связано это с известной проблемой получения временной информации на основе спектральных измерений, если неизвестны природа уширения линий и/или вклад различных механизмов в однородную составляющую этой ширины. В случае кластеров многоатомных молекул вклад в однородную ширину могут давать, в частности, внутримолекулярная релаксация (IVR) в возбуждаемой хромофорной молекуле, релаксация энергии из последней в межмолекулярные колебания кластера («внутрикластерная» IVR) и распад самого кластера. Поэтому наиболее надежным методом определения скорости распада кластеров является прямое измерение кинетики этого процесса по уходу самих кластеров и/или появлению продуктов распада — свободных частиц. Именно этот подход и был использован в данной работе.

В качестве объекта для изучения процесса возбуждения и диссоциации кластеров ИК-излучением в настоящей работе были выбраны кластеры молекулы  $\text{CF}_3\text{I}$ . Эти молекулы через колебание  $\nu_1$  ( $1075 \text{ cm}^{-1}$ ) могут легко возбуждаться излучением  $\text{CO}_2$ -лазера, в том числе и многофотонным образом. Процесс многофотонного ИК-возбуждения и диссоциации этих молекул хорошо изучен [15]. В работе [16] было показано, что молекулы  $\text{CF}_3\text{I}$  легко кластеризуются при сверхзвуковом истечении из импульсного сопла. Были измерены основные характеристики образующегося пучка класте-

ров  $(\text{CF}_3\text{I})_n$ . Кроме того, было обнаружено, что под действием импульсного излучения  $\text{CO}_2$ -лазера может происходить диссоциация этих кластеров. Ранее [16] на основе многофотонной ионизации частиц УФ-излучением была разработана техника детектирования кластеров  $(\text{CF}_3\text{I})_n$ . В данной работе найдены условия детектирования с помощью этой техники и самих молекул  $\text{CF}_3\text{I}$ . Таким образом, оказалось возможным избирательно детектировать как сами исходные кластеры, так и продукты их распада — молекулы  $\text{CF}_3\text{I}$ . Это обстоятельство существенным образом используется при выполнении настоящей работы.

## 2. ЭКСПЕРИМЕНТАЛЬНАЯ УСТАНОВКА И МЕТОДИКА ИЗМЕРЕНИЙ

Измерения осуществлялись на установке, подробное описание которой можно найти в работе [17]. Здесь мы ограничимся лишь кратким описанием условий измерений и их геометрии, схема которой приведена на рис. 1. Кластеры  $(\text{CF}_3\text{I})_n$  генерировались путем газодинамического охлаждения смеси  $\text{CF}_3\text{I} + \text{Ar}$  (1 : 5) при сверхзвуковом истечении газа через импульсное сопло (General Valve,  $d = 0.8$  мм, длительность токового импульса около 300 мкс). Величина давления над соплом (stagnation pressure) могла меняться в пределах  $P_0 = 0.5 \cdot 10^5$  Па. На расстоянии  $\Delta z_{NS} = 38.5$  мм от сопла располагался скиммер («Beam Dynamics» Model 1,  $D_S = 0.66$  мм), с помощью которого вырезался молекулярный/кластерный пучок. Сформированный таким способом пучок частиц попадал в камеру времепролетного масс-спектрометра (TOFMS). На расстоянии  $\Delta z_{SD} = 96.5$  мм от входного отверстия скиммера кластерный пучок пересекался с взаимно перпендикулярными осями масс-спектрометра и пучка сфокусированного ( $f = 12$  см) излучения УФ-лазера (вторая гармоника лазера на красителе с накачкой  $\text{XeCl}$ -лазером, область перестройки длин волн  $\lambda = 210$ – $260$  нм, длительность импульса 10 нс), который использовался для многофотонной УФ-ионизации кластеров. Необходимое в ходе экспериментов колебательное возбуждение и ИК-фотодиссоциация кластеров осуществлялись излучением импульсного (150 нс) TEA  $\text{CO}_2$ -лазера. ИК-возбуждение частиц могло производиться как перед скиммером (поперек кластерного пучка), так и в камере масс-спектрометра в области пересечения пучка УФ-излучения и оси спектрометра (см. рис. 1). В последнем случае излучение  $\text{CO}_2$ -лазера



**Рис. 1.** Элементы установки и геометрия проведения измерений ( $m$  — масса иона,  $Z$  — кратность ионизации,  $P_0$  — давление газа над соплом,  $U$  — средняя поступательная скорость)

направлялось навстречу кластерному пучку под малым углом к нему. Соответствующая система обеспечивала необходимую синхронизацию всех импульсов.

Кроме того, можно было проводить эксперименты с газом низкого давления ( $10^{-8}$ – $10^{-7}$  Па) при комнатной температуре (298 К). Для этого через дополнительный патрубок производился импульсный впрыск газа в камеру масс-спектрометра, и после его термализации (спустя примерно 5.5 мс) проводились измерения.

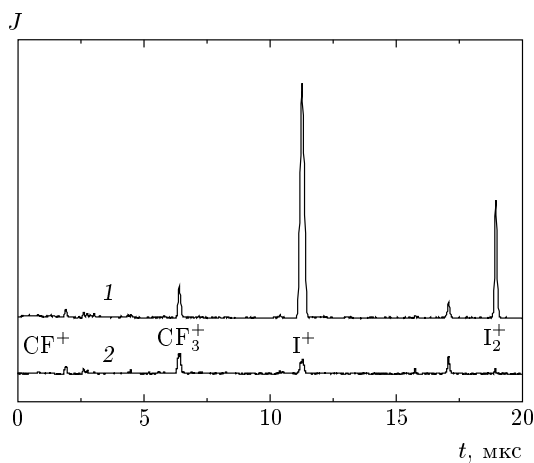
Площадь пятна УФ-излучения (по уровню  $1/e$ ) в фокусе линзы на оси масс-спектрометра составляла  $0.013 \text{ mm}^2$ , а энергия в импульсе не превышала 60 мкДж. Параллельное перемещение зондирующего УФ-излучения вдоль оси масс-спектрометра позволяло измерять поперечный профиль  $S(t, y; P_0)$  кластерного пучка (см. рис. 1). Длительность импульса кластерного пучка в обла-

сти УФ-зондирования составляла около 500 мкс. Ионизация частиц обычно происходила примерно в середине этого импульса. Образующиеся ионы детектировались в масс-спектрометре с помощью вторичного электронного умножителя (ВЭУ). Ионный сигнал с ВЭУ, а также значения энергии УФ- и ИК-импульсов регистрировались на цифровом осциллографе и затем направлялись в компьютер для накопления и последующей обработки.

### 3. РЕЗУЛЬТАТЫ ИЗМЕРЕНИЙ

#### 3.1. Многофотонная ионизация кластеров и свободных молекул $\text{CF}_3\text{I}$ УФ-излучением

Как уже отмечалось, ранее нами были выполнены [16] исследования многофотонной ионизации кластеров  $(\text{CF}_3\text{I})_n$  УФ-излучением эксимерного  $\text{XeCl}$ -лазера ( $\lambda = 308 \text{ nm}$ ). В масс-спектре были



**Рис. 2.** Времяпролетные фотоионизационные масс-спектры: 1 — в условиях кластерного пучка; 2 — для свободных молекул  $\text{CF}_3\text{I}$  (после примерно 98-процентной ИК-диссоциации кластеров);  $\lambda = 230$  нм,  $E_{UV} = 50$  мкДж

обнаружены только пики ионов  $\text{I}^+$  и  $\text{I}_2^+$ . Был сделан вывод, что ион  $\text{I}_2^+$  образуется при ионизации кластеров  $(\text{CF}_3\text{I})_n$  в результате внутрекластерных реакций и, соответственно, этот пик может быть использован для избирательного детектирования этих кластеров. Что касается ионных сигналов от свободных молекул, то в условиях работы [16] они были пренебрежимо малы. Поэтому в данной работе были выполнены предварительные исследования фотоионизации с помощью перестраиваемого источника УФ-излучения. При перестройке в более коротковолновую область спектра наряду с пиками ионов  $\text{I}^+$  и  $\text{I}_2^+$  были обнаружены также сопоставимые по интенсивности пики иона  $\text{CF}_3^+$ . Характерные масс-спектры, полученные в результате многофотонной УФ-ионизации кластеров и свободных молекул  $\text{CF}_3\text{I}$  на длине волны 230 нм, приведены на рис. 2. Именно эта длина волны использовалась нами в последующих измерениях.

В случае кластерного пучка для масс-спектра характерно (спектр 1 на рис. 2), как и в работе [16], наличие пика иона  $\text{I}_2^+$  ( $m/Z = 254$ ) и сопутствующего ему более интенсивного пика иона  $\text{I}^+$  ( $m/Z = 127$ ). Измеренная зависимость сигнала от плотности потока энергии  $\Phi_{UV}$  УФ-излучения для иона  $\text{I}_2^+$  имеет вид  $S_{254}(\Phi_{UV}) \propto \Phi_{UV}^{0.72}$ , для иона  $\text{I}^+$  показатель степени примерно на единицу больше,  $S_{127}(\Phi_{UV}) \propto \Phi_{UV}^{1.77}$ . Если потенциал ионизации кластера  $(\text{CF}_3\text{I})_n$  не очень отличается от такового для молекул  $\text{CF}_3\text{I}$  (IE = 10.3716 эВ [18]), то для

ионизации этих кластеров достаточно двух квантов с  $\lambda = 230$  нм. Близость показателя степени к единице в зависимости  $S_{254}(\Phi_{UV})$  связана, по-видимому, с насыщением процесса из-за однофотонного резонанса с A-полосой в  $\text{CF}_3\text{I}$  (схему уровней молекулы см. в работе [19]). Что касается иона  $\text{I}^+$ , то, как и для  $\lambda = 308$  нм [16], он появляется, по всей видимости, в результате диссоциации  $\text{I}_2^+$ , т. е. последний является предшественником  $\text{I}^+$ . Как видно из рис. 2, в масс-спектре присутствует также ионный пик  $\text{CF}_3^+$  ( $m/Z = 69$ ), для которого характерна зависимость  $S_{69}(\Phi_{UV}) \propto \Phi_{UV}^{2.25 \div 2.5}$ , что явно указывает на многофотонность процесса его образования.

В случае свободных молекул основными продуктами фотоионизации на  $\lambda = 230$  нм являются ионы  $\text{CF}^+$  ( $m/Z = 31$ ),  $\text{CF}_3^+$  ( $m/Z = 69$ ) — наибольший пик при комнатной температуре,  $\text{I}^+$  ( $m/Z = 127$ ) и, при некоторых условиях,  $\text{CF}_3\text{I}^+$  ( $m/Z = 196$ ). Измеренная зависимость ионных сигналов от  $\Phi_{UV}$  для пиков ионов  $\text{CF}_3^+$  и  $\text{I}^+$  имеет степенной вид с примерно одинаковым показателем степени (примерно 2.2), т. е.  $S \propto \Phi_{UV}^{2.2}$ . Для  $\text{CF}_3\text{I}^+$  зависимость  $S(\Phi)$  близка к линейной. В данной работе мы не будем обсуждать возможный механизм образования упомянутых выше ионов, поскольку это выходит за ее рамки. Остановимся лишь на тех фактах, которые важны для использования многофотонной УФ-ионизации как способа детектирования свободных молекул  $\text{CF}_3\text{I}$ . Измерения показали, что выход ионов  $\text{CF}^+$  и  $\text{I}^+$  зависит от предварительного колебательного возбуждения молекул ИК-излучением. А именно, при многофотонном ИК-возбуждении молекулы  $\text{CF}_3\text{I}$  вплоть до границы диссоциации ( $\Phi_{IR} \leq \Phi_{th}$ ), для ионов  $\text{CF}^+$  и  $\text{I}^+$  наблюдается быстрый рост их выхода,  $S \propto \exp(\Phi_{IR})$ . При превышении порога  $\Phi_{th}$  многофотонной ИК-диссоциации сигналы от этих ионов начинают уменьшаться из-за распада исходных молекул (продукты ИК-диссоциации самих молекул,  $\text{CF}_3$  и  $\text{I}$  в основном электронном состоянии, в условиях данных экспериментов ионов не дают). В то же время измерения показали, что сигнал от иона  $\text{CF}_3^+$  весьма слабо зависит от уровня ИК-возбуждения молекул. (Естественно, при возбуждении выше границы диссоциации и в этом случае сигнал начинает уменьшаться.) Такое поведение является весьма важным при использовании сигнала от иона  $\text{CF}_3^+$  для диагностики свободных молекул, образующихся в результате ИК-диссоциации кластеров, поскольку величина этого сигнала определяется в основном количеством образующихся молекул и не зависит от их внутреннего состояния.

Различие в фотоионизационных масс-спектрах в

случаях кластерных пучков и свободных молекул наглядно видно из сравнения спектра 1 (рис. 2) до ИК-возбуждения кластерного пучка и спектра 2 (рис. 2) сразу после окончания импульса излучения CO<sub>2</sub>-лазера. Эти масс-спектры получены в условиях глубокой (около 100 %) кластеризации пучка, имеющей место в области детектирования. При  $\Phi_{IR} = 0.08 \text{ Дж}/\text{см}^2$  происходит практически полный распад кластерной составляющей пучка (сигнал от иона I<sub>2</sub><sup>+</sup> уменьшается на 98 %), в то же время сигнал от иона CF<sub>3</sub><sup>+</sup>, присутствующий в обоих спектрах, убывает примерно на 25 %. Если учесть, что при этом общее число молекул в области регистрации за время импульса не меняется (как будет показано ниже) из-за малой скорости разлета свободных молекул, то из сравнения сигналов для молекул кластерной составляющей и свободных молекул можно получить значение относительной эффективности выхода ионизации CF<sub>3</sub><sup>+</sup> в этих двух случаях. Это наряду со знанием по сигналу от I<sub>2</sub><sup>+</sup> поведения доли молекул в кластерной составляющей дает возможность выделять сигнал от CF<sub>3</sub><sup>+</sup>, который соответствует свободным молекулам при любом (не только 100-процентном) распаде кластеров. Такой подход был использован ниже для измерения кинетики распада кластеров и определения скорости образования продуктов.

### 3.2. Зависимость сигнала многофотонной УФ-ионизации от давления и средний размер кластеров

Процесс образования кластеров (CF<sub>3</sub>I)<sub>n</sub> при сверхзвуковом истечении молекул CF<sub>3</sub>I и зависимость параметров кластерного пучка от условий этого истечения исследовались нами ранее [16] с помощью многофотонной ионизации частиц УФ-излучением XeCl-лазера. Было показано, в частности, что при газодинамическом охлаждении собственного газа CF<sub>3</sub>I (без разбавления в газе-носителе) трудно достичь глубокого охлаждения частиц; при этом формируются несколько ансамблей кластеров, различающихся своими параметрами (распределением по размерам, скоростными характеристиками и т. д.). Более глубокое охлаждение и высокая степень кластеризации при существенно более однородном составе кластеров достигается в случае разбавления исходных молекул газом-носителем.

В данной работе для исследований была выбрана

смесь CF<sub>3</sub>I: Ar = 1: 5. Для этой смеси были измерены зависимости ионного сигнала S<sub>254</sub> от давления газа P<sub>0</sub> над соплом, а также расход газа Q за импульс. Характер зависимости S<sub>254</sub>(P<sub>0</sub>) оказался качественно подобен измеренному ранее [16]. При некотором критическом значении давления P<sub>cr</sub> = 2.6 · 10<sup>4</sup> Па величина сигнала S<sub>254</sub> (на оси пучка) начинает резко расти, что вызвано образованием стабильных кластеров, начиная с некоторого критического размера кластера N<sub>cr</sub>. В приближении степенной зависимости S<sub>254</sub> ∝ P<sub>0</sub><sup>b</sup> в диапазоне давлений от 2.6 · 10<sup>4</sup> до 6 · 10<sup>4</sup> Па показатель степени b = 4. Затем рост сигнала замедляется и, начиная с давления 1 · 10<sup>5</sup> Па вплоть до 2.8 · 10<sup>5</sup> Па, величина b равна примерно 1.44. Причины такого характера поведения зависимости S<sub>254</sub>(P<sub>0</sub>) обсуждаются в работе [16]. Для настоящей работы важно то, что полученные зависимости S<sub>254</sub> от P<sub>0</sub> (и аналогичная от Q) дают возможность оценить средний размер кластеров N. Известно (см., например, [1]), что при газодинамическом охлаждении формируется достаточно широкое распределение кластеров по размерам, конкретный вид которого зависит от целого ряда причин. Весьма часто формируемый ансамбль кластеров характеризуют одним параметром — средним размером N. Для оценки этого параметра можно воспользоваться соотношением Хагена N ∝ (Γ\*)<sup>a</sup> [20], где Γ\* — безразмерный параметр, линейно связанный с плотностью частиц n<sub>0</sub> в источнике: Γ\* ∝ n<sub>0</sub>. Из наших измерений расхода Q используемой газовой смеси CF<sub>3</sub>I+Ar за импульс следует, что n<sub>0</sub> ∝ P<sub>0</sub><sup>0.9</sup>. Окончательно для N можно записать

$$N = N_{cr}(P_0/P_{cr})^{0.9a}. \quad (1)$$

Согласно нашим измерениям, для использованной смеси CF<sub>3</sub>I+Ar величина P<sub>cr</sub> в уравнении (1) равна 2.6 · 10<sup>4</sup> Па. Что касается параметров N<sub>cr</sub> и a, то, следуя работе [16], значение N<sub>cr</sub> выбираем равным 7.5, и считаем, что показатель степени a для CF<sub>3</sub>I лежит в пределах 1.7 < a < 2.3. Для оценки значения N параметр a в уравнении (1) выбран равным 2.0. Несмотря на то что такая оценка среднего размера кластеров CF<sub>3</sub>I является достаточно грубой, этот подход хорошо зарекомендовал себя [16], и мы полагаем, что он дает достаточно хорошее представление о значении N и в условиях данной работы. В частности, из уравнения (1) следует, что для смеси CF<sub>3</sub>I+Ar при давлении P<sub>0</sub> = 1.15 · 10<sup>5</sup> Па, для которого получены многие из приведенных ниже результатов, мы имеем дело с кластерами, средний размер которых лежит в районе N ≈ 110.

### 3.3. Диссоциация кластеров $\text{CF}_3\text{I}$ под действием лазерного ИК-излучения

ИК-возбуждение и последующая диссоциация кластеров в данной работе происходили при воздействии на колебание  $\nu_1$  молекулы  $\text{CF}_3\text{I}$  на линии  $9R(14)$  ( $1074.65 \text{ см}^{-1}$ ) излучения  $\text{CO}_2$ -лазера в области максимума поглощения кластеров  $(\text{CF}_3\text{I})_n$  [16]. Поперечный размер лазерного пучка (см. рис. 1, «продольная» геометрия  $\text{IR}_{\parallel}$ ) существенно превосходил диаметр кластерного пучка, так что возбуждаемые кластеры находились практически в однородном поле лазерного излучения. Было выполнено два типа измерений. Во-первых, была измерена величина сигнала  $S_{254}$  от ионов  $\text{I}_2^+$  в зависимости от плотности потока энергии  $\Phi_{IR}$  ИК-излучения сразу после окончания лазерного импульса. Во-вторых, было измерено изменение величины сигнала во времени,  $S_{254}(t)$ , включая длительность самого ИК-импульса.

Характерная зависимость  $S_{254}(\Phi_{IR})$  для  $P_0 = 1.15 \cdot 10^5 \text{ Па}$ , что соответствует размеру кластеров  $N \approx 110$ , приведена на рис. 3. Видно, что кластерный сигнал быстро уменьшается с ростом  $\Phi_{IR}$ , что однозначно свидетельствует о диссоциации (распаде) кластеров, причем эффективная диссоциация кластеров происходит уже при значениях  $\Phi_{IR}$ , намного меньших порога многофотонной ИК-диссоциации свободных молекул. Измеренная зависимость сигнала ионов  $\text{I}_2^+$  от плотности энергии за импульс хорошо описывается экспоненциальной функцией вида  $S_{254}(\Phi_{IR}) = S_{254}^0 \exp(-k\Phi_{IR})$  (сплошная кривая на рис. 3). Аналогичный, экспоненциальный вид зависимости

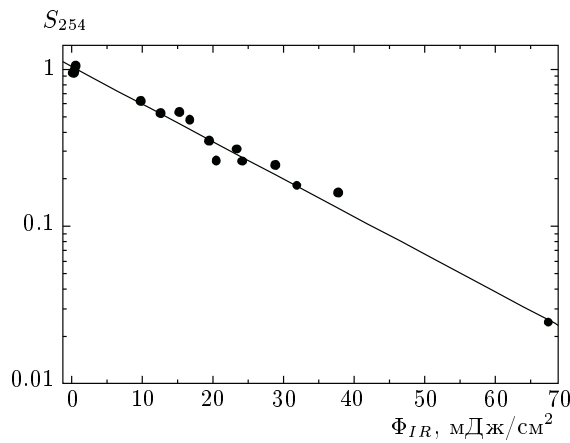


Рис. 3. Зависимость от  $\Phi_{IR}$  нормированного ионного сигнала  $S_{254}$  от кластеров;  $P_0(\text{CF}_3\text{I} + \text{Ar}) = 1.15 \cdot 10^5 \text{ Па}$ ,  $N \approx 110$

ИК-фотодиссоциации кластеров от  $\Phi_{IR}$  наблюдался также ранее [10, 16]. Такое поведение характерно для процесса, при котором увеличение внутренней энергии  $E$  кластера за счет поглощения излучения при увеличении  $\Phi_{IR}$  ( $\Delta E = \sigma n \Phi_{IR}$ ,  $\sigma$  — сечение ИК-поглощения) выше энергии диссоциации ведет к отрыву от кластера части ( $\Delta n$ ) молекул с соответствующей затратой избытка энергии на этот отрыв ( $\Delta E = -\varepsilon_0 \Delta n$ ,  $\varepsilon_0$  — энергия связи молекул в кластере). Тогда для молекул, остающихся в кластере, легко получить

$$n = n_0 \exp\left(-\frac{\sigma}{\varepsilon_0} \Phi_{IR}\right). \quad (2)$$

Если эффективность  $\zeta$  фотоионизации зависит от размера кластера и этот размерный эффект носит степенной характер,  $\xi(N) \propto N^g$ , то с учетом изменения размера кластеров в процессе распада поведение соответствующего кластерного сигнала будет иметь также экспоненциальный вид [16]:

$$\begin{aligned} S_{254} &= S_{254}^0 \exp\left[-(1+g)\frac{\sigma}{\varepsilon_0} \Phi_{IR}\right] = \\ &= S_{254}^0 \exp(-k\Phi_{IR}). \end{aligned} \quad (3)$$

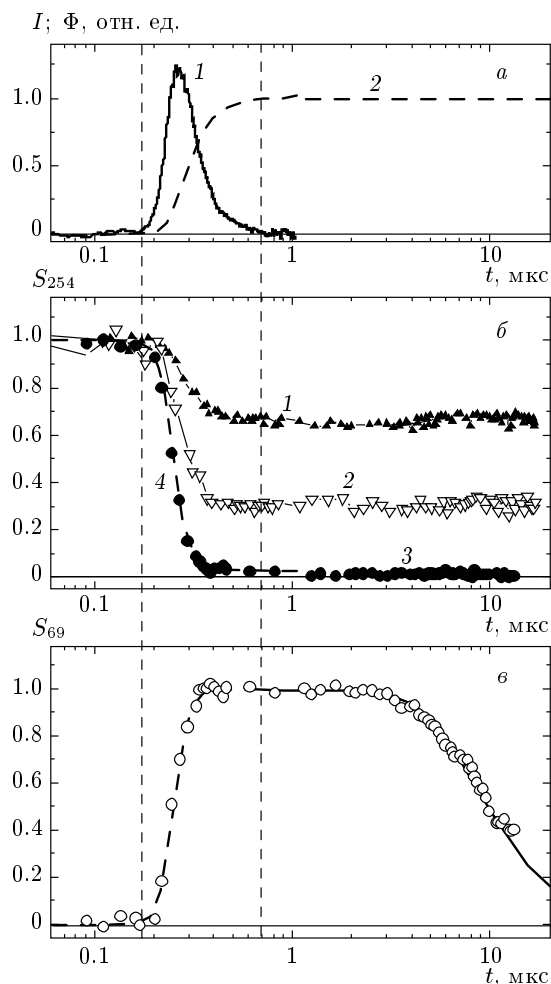
Следует заметить, что величина параметра  $k$  при исследовании одной и той же кластерной системы в экспериментах с разными источниками ИК- и/или УФ-излучения может значительно различаться. Это может быть вызвано как различием в сечениях  $\sigma(\nu_{IR})$  ИК-поглощения, так и размерным эффектом, влияющим на эффективность  $\xi(N, \nu_{UV})$  фотоионизации. Именно этим можно объяснить различие в значениях параметра  $k$ , полученного ранее [16] ( $9R(12)$ ,  $308 \text{ нм}$ ),  $k_1 = 104 \pm 10 \text{ см}^2/\text{Дж}$ , и измеренного в данной работе ( $9R(14)$ ;  $230 \text{ нм}$ ),  $k_2 = 58 \pm 10 \text{ см}^2/\text{Дж}$ . В случае многофотонной УФ-ионизации при  $\lambda = 308 \text{ нм}$  [16] размерный эффект оказался весьма значительным и параметр  $g$  был измерен:  $g_1 = 0.66$ . Из соотношения

$$\frac{k_1}{k_2} = \frac{(1+g_1)\sigma_1}{(1+g_2)\sigma_2}$$

можно получить значение

$$g_2 = (1+g_1) \frac{\sigma_1 k_2}{\sigma_2 k_1} - 1.$$

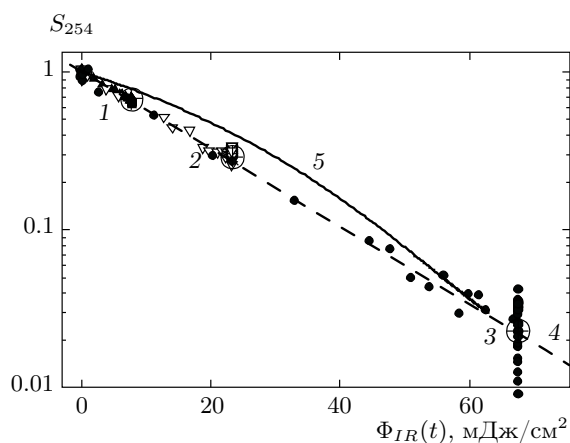
С учетом разницы величин  $\sigma_1$  и  $\sigma_2$  [16] параметр  $g_2$  оказался равным  $g_2 = -0.19$ , что (по модулю) значительно меньше  $g_1$ . Поэтому с достаточно хорошей точностью размерным эффектом при многофотонной ионизации кластеров  $(\text{CF}_3\text{I})_n$  УФ-излучением



**Рис. 4.** Кинетика изменения сигналов. *а*) Извлечение СО<sub>2</sub>-лазера: 1 — форма импульса  $I(t)$ ; 2 — нормированная плотность потока  $\Phi_{IR}(t)$  прошедшей энергии. *б*) Нормированный ионный сигнал  $S_{254}(t)$  от кластеров для  $\Phi_{IR} = 7.68$  мДж/см<sup>2</sup> (1), 23.26 мДж/см<sup>2</sup> (2), 67.45 мДж/см<sup>2</sup> (3); кривая 4 — расчет для  $\tau = 1$  нс (см. текст). *в*) Нормированный ионный сигнал  $S_{69}(t)$  от свободных молекул СF<sub>3</sub>I,  $\Phi_{IR} = 67.45$  мДж/см<sup>2</sup>. Штриховая кривая — расчет для  $\tau = 1$  нс (см. текст); сплошная — модельное поведение сигнала  $S_{69}(t, y = 0)$  для  $t > t_1$  при подгоночном значении  $V_{M\perp} = 127$  м/с

на 230 нм можно пренебречь и считать, что величина сигнала  $S_{254}$  прямо пропорциональна числу молекул СF<sub>3</sub>I, сконденсированных в кластеры.

На рис. 4б приведена кинетика изменения сигнала  $S_{254}(t)$  в течение ИК-импульса и после него для нескольких значений  $\Phi_{IR}$ , полученная путем сканирования зондирующего УФ-импульса относительно диссоциирующего. Из приведенных данных



**Рис. 5.** Зависимость нормированного ионного сигнала  $S_{254}$  от текущего значения  $\Phi_{IR}(t)$ . Мелкие значки соответствуют измеренным значениям для кривых 1, 2 и 3 на рис. 4б, крупные ( $\oplus$ ) — интегральным значениям за импульс. Штриховая 4 и сплошная 5 кривые — расчет соответственно для  $\tau = 1$  нс и  $\tau = 15$  нс (см. текст)

видно, что распад кластеров происходит уже в течение ИК-импульса. Это также следует из того факта, что зависимость  $S_{254}(\Phi_{IR}(t))$ , построенная из данных рис. 4б как функция прошедшего к моменту  $t$  потока энергии  $\Phi_{IR}(t)$  и приведенная на рис. 5, имеет ту же функциональную зависимость (3) и с тем же значением  $k = k_2$ , что и полученное из данных рис. 3. Такое поведение  $S_{254}(\Phi_{IR}(t))$  возможно только в том случае, если распад кластеров происходит достаточно быстро. Сопоставление эксперимента и модельного расчета кинетики распада кластеров позволяет оценить снизу скорость этого процесса. Введение конечного времени жизни  $\tau$  кластеров относительно распада должно приводить к некоторой задержке этого процесса. Наиболее ярко такая задержка проявляется в зависимости  $S_{254}(\Phi_{IR}(t))$ . На рис. 5 приведен результат расчета в рамках простой модели, учитывающей реальную скорость возбуждения  $W_{IR}$  кластеров и время их жизни до распада для двух значений,  $\tau = 1$  и  $\tau = 15$  нс. Этот расчет для выбранных значений  $\tau$  показан на рис. 5 соответственно штриховой и сплошной кривыми. Видно, что в последнем случае наблюдается явное отклонение от экспериментальной зависимости. Приведенные результаты позволяют сделать вывод, что использованная нами методика позволяет надежно заметить влияние конечного значения времени жизни, если последнее превышает  $\tau \approx 10$  нс.

### 3.4. Определение скорости частиц, образующихся при ИК-диссоциации кластеров

Используя разработанную и описанную выше (п. 3.1) технику детектирования свободных молекул CF<sub>3</sub>I по сигналу  $S_{69}$  от ионов CF<sub>3</sub><sup>+</sup>, можно проследить за кинетикой образования и последующей эволюцией этих молекул, когда они появляются в результате распада кластеров (CF<sub>3</sub>I)<sub>n</sub>. Типичная временная эволюция сигнала  $S_{69}$  от свободных молекул CF<sub>3</sub>I приведена на рис. 4 $\alpha$ . Видно, что рост этого сигнала происходит в течение лазерного ИК-импульса, причем с той же скоростью, что и распад кластеров (модельная штриховая кривая на рис. 4 $\alpha$ ). Затем, начиная с некоторого момента времени, происходит уменьшение сигнала, что вызвано разлетом образовавшихся свободных молекул из области диссоциации кластеров. Путем сравнения измеренной пространственно-временной эволюции сигнала  $S_{69}$  и соответствующей модели можно определить среднюю скорость и, соответственно, кинетическую энергию и поступательную температуру образующихся при распаде кластеров свободных молекул.

Регистрируемый в эксперименте в момент  $t$  ионный сигнал  $S(t, y)$  зависит от плотности  $D$  и вида поперечного распределения  $B_{\perp}(t, \rho)$  зондируемых частиц, а также от эффективности ионизации  $\xi(I(\mathbf{r}))$ ,  $\mathbf{r} = (x, y, z)$  причем для последней необходимо учитывать пространственную неоднородность пучка ионизирующего излучения в объеме наблюдения  $V_{obs}$  (определяется полем зрения масс-спектрометра, см. рис. 1):

$$S(t, y) \propto \iiint_{V_{obs}} DB_{\perp}(t, \rho) \xi(I(\mathbf{r})) d\mathbf{r}. \quad (4)$$

Здесь  $B_{\perp}(t, \rho)$  — нормированная функция, описывающая вид поперечного распределения (по координате  $\rho$ , см. рис. 1) частиц в рабочей зоне масс-спектрометра. Ее вид определяется условиями истечения из сопла (конструкцией сопла, температурой, давлением и составом газа) и отражает изменение поперечного распределения частиц, связанное с расплыванием пучка из-за поперечной составляющей скорости  $V_{\perp}$  хаотического (теплового) движения частиц в пучке. Роль этого фактора при формировании кластерного пучка подробно рассмотрена в работах [19, 21]. Наиболее простое описание движения частиц возможно в случае, если система частиц характеризуется единым параметром — наиболее вероятной скоростью  $V_{\perp}$  хаотического движения. Пусть поперечное пространственное распре-

деление пучка сразу после скиммера имеет прямоугольный профиль и последующее свободное движение частиц в пространстве за скиммером определяется эллипсоидальным дрейфовым распределением Максвелла по скоростям  $v$ :

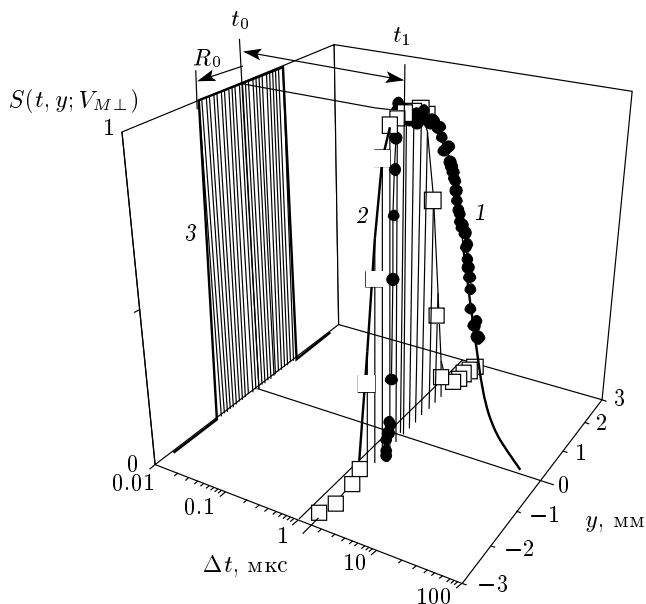
$$f(v) \propto \frac{1}{\sqrt{\pi} V_{\parallel}} \exp\left(-\frac{(v_{\parallel} - U)^2}{V_{\parallel}^2}\right) \times \frac{1}{\pi V_{\perp}^2} \exp\left(-\frac{v_{\perp}^2}{V_{\perp}^2}\right), \quad (5)$$

где  $U$  — скорость направленного движения пучка, а  $V_{\parallel}$  и  $V_{\perp}$  — соответственно продольная и поперечная компоненты наиболее вероятной скорости хаотического движения частиц в пучке. В этом случае поперечное распределение пучка в области детектирования имеет вид [19]

$$B(\Delta t, \rho, V_{\perp}) = \frac{1}{\pi(V_{\perp} \Delta t)^2} \times \left\{ \int_0^{2\pi} \left[ \int_0^{R_0} r \exp\left(-\frac{\rho^2 + r^2 - 2r\rho \cos \varphi}{(V_{\perp} \Delta t)^2}\right) dr \right] d\varphi \right\}, \quad (6)$$

где  $R_0 = D_S(\Delta z_{NS} + \Delta z_{SD})/2\Delta z_{NS} = 1.15$  мм — геометрический радиус пучка в области ионизации,  $\Delta z_{NS}$  — расстояние от источника до скиммера,  $\Delta z_{SD}$  — расстояние от скиммера до места ионизации,  $D_S$  — диаметр скиммера, в данном случае  $\Delta t = \Delta z_{SD}/U$  — время пролета от скиммера до места ионизации (см. рис. 1). Время пролета  $\Delta t$  можно определить по приходу метки ИК-фотодиссоциации, создаваемой на входе скиммера при перпендикулярной геометрии эксперимента (IR<sub>⊥</sub>, рис. 1) (подробности см. в работе [19]). Из сравнения экспериментального  $S^*(t, y)$  и расчетного  $S(t, y)$  сигналов, отвечающих поперечному распределению частиц на момент времени  $t$ , можно определить поперечную составляющую наиболее вероятной скорости  $V_{C\perp}$  кластеров в пучке, а также плотность их поперечного распределения  $B(\rho)$  на момент ИК-возбуждения пучка. В условиях наших экспериментов ( $N \approx 110$ )  $V_{C\perp} = 1.1$  м/с.

Как показали описанные выше эксперименты, распад кластеров с образованием свободных молекул происходит уже в течение лазерного ИК-импульса; при этом сформированное к моменту  $t_1$  окончания ИК-импульса распределение плотности этих молекул близко к исходному распределению частиц в кластерном пучке. Однако в дальнейшем из-за дополнительной кинетической энергии, полу-



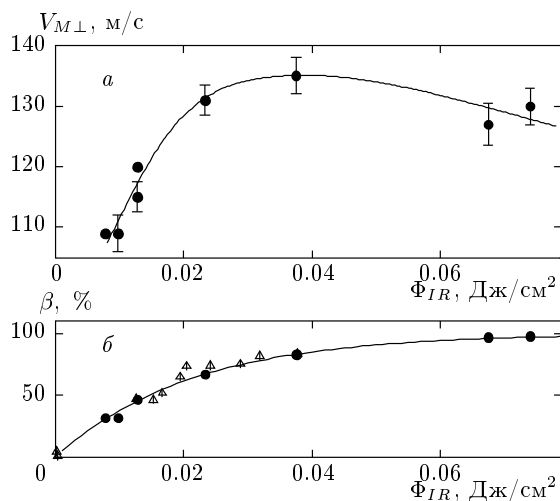
**Рис. 6.** Пространственно-временная эволюция ионного сигнала  $S_{69}(t, y)$  от свободных молекул  $\text{CF}_3\text{I}$ : 1 — зависимость ионного сигнала  $S_{69}(t, y = 0)$  на оси пучка ( $\bullet$  — эксперимент для  $\Phi_{IR} = 67.45 \text{ мДж/см}^2$ , кривая — модельный расчет при  $V_{M\perp} = 127 \text{ м/с}$ ); 2 — поперечное распределение ионного сигнала  $S_{69}(t = t_1, y)$  по оси  $y$  (см. рис. 1) на момент  $t_1$  окончания ИК-импульса ( $\square$  — эксперимент для  $\Phi_{IR} = 67.45 \text{ мДж/см}^2$ , кривая — модельный расчет); 3 — стартовое модельное распределение, эволюционирующее за время  $\Delta t = t_1 - t_0$  в распределение, для которого поведение модельного сигнала  $S_{69}(t = t_1, y)$  совпадает с экспериментом (кривая 2)

ченной молекулами при распаде кластеров, происходит их пространственное расплывание. Это ведет к уменьшению плотности таких молекул в центральной части пучка, что отражается на поведении соответствующих сигналов, в том числе на оси пучка,  $S(t, y = 0)$ , рис. 4в. Для определения наиболее вероятной скорости  $V_{M\perp}$  молекул можно использовать изложенные выше модельные представления, несколько изменив «предысторию» таким образом, чтобы при моделировании, стартуя (в момент  $t_0$ ) с начального прямоугольного профиля поперечного распределения и имея подгоночный скоростной параметр  $V_{M\perp}$ , получить через  $\Delta t = t_1 - t_0$  профиль распределения  $B_\perp(t_1 - t_0, \rho; V_{M\perp})$ , для которого поведение расчетного сигнала  $S(t_1, y)$  совпадает с экспериментальным на момент  $t_1$  окончания импульса ИК-излучения. При этом в последующие моменты времени ( $t > t_1$ ) поведение распределе-

ния  $B_\perp(t - t_0, \rho; V_{M\perp})$  и соответствующего модельного сигнала  $S(t, y = 0)$  также должно соответствовать экспериментально наблюдаемому. Это положение иллюстрирует рис. 6, где, в частности, приведено исходное прямоугольное распределение в момент  $t_0$  и экспериментальное поведение (значки на кривой 2) сигнала  $S^*(t_1, y)$ , полученное в момент  $t_1$ . (Поперечный профиль пучка получен путем сканирования УФ-излучения по оси  $y$ , рис. 1.) Сплошная кривая 2, проходящая через экспериментальные точки на рис. 6, — модельный расчет. Там же приведено поведение расчетных (кривая 1) и экспериментально измеренных (значки) сигналов от молекул на оси пучка,  $S(t, y = 0)$ , при подгоночном значении  $V_{M\perp} = 127 \text{ м/с}$ . Видно хорошее согласие.

**О технике подгонки.** Заметим, что основным фактором, определяющим профиль пучка в выражении (6) является параметр  $\vartheta = V_\perp \Delta t$ . При проведении расчетов величину  $\vartheta_1$  этого параметра в момент  $t_1$  можно определить, сравнивая модельный  $S(\vartheta_1, y)$  и экспериментальный  $S^*(t_1, y)$  профили сигнала. Далее, требуя выполнения равенства  $t_0 = t_1 - \vartheta_1/V_{M\perp}$  и используя значение  $t_1$  как привязку модели на шкале времени исследуемого процесса, можно определить подгоночное значение  $V_{M\perp}$ , при котором поведение модельного сигнала на оси пучка,  $S_{69}(t - (t_1 - \vartheta_1/V_{M\perp}), y = 0; V_{M\perp})$ , соответствует экспериментально наблюдаемому. Именно этот подход был использован при определении значения наиболее вероятной скорости молекул  $\text{CF}_3\text{I}$ , образующихся в результате ИК-диссоциации соответствующих кластеров при разных условиях возбуждения.

На рис. 7а приведены измеренные значения  $V_{M\perp}$  при изменении значения  $\Phi_{IR}$  в области 10–75 мДж/см<sup>2</sup>. На рис. 7б представлена зависимость выхода диссоциации кластеров  $\beta$  от  $\Phi_{IR}$ , полученная из данных рис. 3. (Параметр  $\beta$  определяется как доля кластеризованных молекул, покинувших кластеры после облучения ИК-излучением с плотностью потока энергии  $\Phi_{IR}$ .) Видно, что имеет место участок начального роста скорости вылетающих молекул: значение меняется от 110 до 135 м/с при увеличении  $\Phi_{IR}$  от 10 до 35 мДж/см<sup>2</sup>, при этом выход диссоциации достигает  $\beta = 80\%$ . Это изменение  $V_{M\perp}$  соответствует изменению температуры  $T_{tr}$  поступательных степеней свободы молекул  $\text{CF}_3\text{I}$  от 140 до 215 К. При дальнейшем увеличении  $\Phi_{IR}$  выход диссоциации продолжает расти, однако скорость вылетающих молекул и их температура начинают уменьшаться. Обсуждение полученных в этом разделе результатов приводится ниже.



**Рис. 7.** Зависимость скорости разлета  $V_{M\perp}$  свободных молекул  $\text{CF}_3\text{I}$  (а) и выхода диссоциации кластеров  $\beta$  (б) от плотности потока энергии прошедшего ИК-импульса;  $P_0(\text{CF}_3\text{I} + \text{Ar}) = 1.15 \cdot 10^5 \text{ Па}$ ,  $N \approx 110$

#### 4. ОБСУЖДЕНИЕ И ВЫВОДЫ

Наблюдаемое время жизни молекулярного кластера  $\tau$  относительно распада после его возбуждения определяется двумя основными факторами — скоростью внутрикластерной IVR (релаксация энергии из возбужденных хромофорных молекул в колебательные степени свободы кластера) и скоростью мономолекулярного распада. Как следует из наших измерений для кластеров  $(\text{CF}_3\text{I})_n$  значение  $\tau < 10 \text{ нс}$ . Если следовать аналогии с многоатомными молекулами, то, скорее всего, наиболее медленным процессом, определяющим скорость появления свободных молекул, является мономолекулярный распад. Но в любом случае мы полагаем, что для кластеров  $(\text{CF}_3\text{I})_n$  при их ИК-возбуждении процесс распада является стационарным или близким к нему. Простые оценки подтверждают этот вывод. Если считать, что сечение ИК-поглощения кластеризованных молекул  $\text{CF}_3\text{I}$  близко к его значению  $\sigma = 6 \cdot 10^{-18} \text{ см}^2$  для свободных молекул [22], то максимальная скорость возбуждения  $W_{IR}$  этих кластеров (при  $\Phi_{IR} = 80 \text{ мДж}/\text{см}^2$ ) составляла примерно  $10^8 \text{ с}^{-1}$ , что не превышает оценку для  $\tau^{-1}$ . Энергия насыщения возбуждаемого ИК-перехода составляет  $\Phi_s = h\nu/2\sigma = 2 \text{ мДж}/\text{см}^2$ . При таком значении плотности потока энергии вероятность поглощения одного ИК-кванта составляет примерно 0.3. С учетом того, что для отрыва одной молекулы  $\text{CF}_3\text{I}$  нужна энергия  $\varepsilon_0 = 0.57 \text{ эВ}$  [16] (4.3 ИК-кванта), легко оценить, что при  $\Phi = \Phi_s$  выход диссоциации должен

быть около 7%, в то время как измеренная величина  $\beta$  составляет 9%. Близость рассчитанного и измеренного значений  $\beta$  говорит о том, что в наших экспериментах заметного перевозбуждения хромофорных молекул, т. е. их переход в состояния с энергией более одного ИК-кванта, по-видимому, не происходит.

Таким образом, диссоциацию кластеров  $(\text{CF}_3\text{I})_n$  в результате их возбуждения ИК-излучением можно рассматривать как последовательный отрыв молекул  $\text{CF}_3\text{I}$  по мере поглощения кластером энергии  $E \geq \varepsilon_0$ . При реализованных в эксперименте значениях скорости ввода энергии в кластеры их распад можно рассматривать как процесс испарения и использовать развитые для этого случая модельные представления, в частности, понятие «испарительного ансамбля» (evaporative ensemble) (см. работу [23] и обзор [7]). В этом случае константу скорости испарения можно представить в аррениусовском виде [24]:

$$k_{ev} = A \exp(-\Delta/k_B T), \quad (7)$$

где  $A$  — константа, которая отражает, в частности, размерный эффект и в приближении твердых сфер может быть рассчитана [23],  $\Delta$  — теплота испарения (энергия связи), а  $T$  — температура кластера. При таком подходе температура  $T_{tr}$  поступательных степеней свободы вылетающей частицы считается равной температуре  $T^*$  переходного состояния распадающегося кластера. Последняя несколько меньше температуры  $T$  материнского кластера до распада, поскольку часть его энергии идет на отрыв мономомера. (Оценки показывают, что в условиях наших экспериментов значения  $T$  по указанной причине превышают  $T_{tr}$  не более чем на 10–30%). Таким образом, измеренные в эксперименте значения  $T_{tr}$  могут служить хорошим индикатором внутреннего состояния исходного кластера, его температуры.

Обратимся теперь к результатам измерений скорости разлета  $V_{M\perp}$  молекул  $\text{CF}_3\text{I}$ , образующихся при распаде соответствующих кластеров, и ее зависимости от плотности энергии излучения  $\Phi_{IR}$ , представленных на рис. 7а. Для интерпретации этих результатов их удобно представить в виде зависимости  $T_{tr}$ , рассчитанной по  $V_{M\perp}$ , от выхода диссоциации  $\beta$ , значения которого взяты из данных рис. 7б. Полученная таким образом зависимость  $T_{tr}(\beta)$  приведена на рис. 8. Как видно, рост  $\beta$  сопровождается вначале монотонным ростом  $T_{tr}$ , а следовательно, и температуры кластеров  $T$ . При  $\beta \approx 80 \%$  значение  $T_{tr}$  достигает величины  $T_{tr} = 215 \text{ К}$ . При дальнейшем увеличении  $\beta$  температура начинает падать.

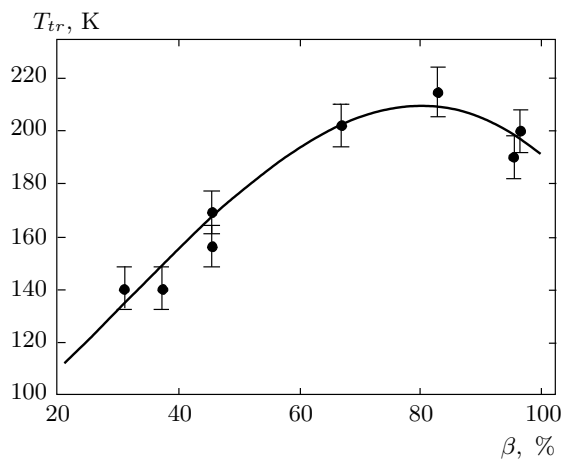


Рис. 8. Значения температуры  $T_{tr}$  разлетающихся молекул  $\text{CF}_3\text{I}$  для различных значений выхода диссоциации кластеров  $\beta$

Существует несколько возможных причин, объясняющих характер поведения  $T_{tr}(\beta)$  на рис. 8. Наиболее очевидная и, на наш взгляд, основная причина первоначального роста  $T_{tr}$  связана с конкуренцией процессов ИК-возбуждения и последующего испарения кластеров. В приближении квазистационарного режима повышение скорости радиационного возбуждения (при увеличении  $\Phi_{IR}$ ) ведет к увеличению скорости испарения  $k_{ev}$  и, как следует из соотношения (7), должно повышать «эффективную» температуру кластеров  $T$  и, соответственно,  $T_{tr}$ . (Термин «эффективная» использован, поскольку из-за непрямоугольной формы ИК-импульса величина  $T$  должна несколько изменяться в течение этого импульса.)

Еще одним возможным фактором, оказывающим влияние на характер зависимости  $T_{tr}(\beta)$  является размерный эффект. Значения  $T_{tr}$ , представленные на рис. 8, получены при достаточно больших значениях  $\beta$ , когда уже в течение лазерного импульса испарение приводит к весьма значительному изменению среднего размера кластеров. Это, в свою очередь, меняет предэкспоненциальный множитель в соотношении (7), который в приближении твердых сфер зависит от размера кластера как  $A \sim n^{2/3}$ . В случае постоянства значения  $\Delta$  в (7), это должно вести к увеличению  $k_{ev}$  и, тем самым, замедлять рост  $T$  с ростом  $\beta$ . Но особенно сильно размерный эффект должен сказаться при больших  $\beta$ . Известно [1], что энергия связи (теплоты испарения) в кластерах зависит от их размера и начинает уменьшаться при переходе в область сравнительно небольших кластеров. Так, в работе [25] для ряда молекулярных кластеров показано, что величина  $\Delta$  слабо меняется в

области значений  $n \approx 30\text{--}1000$  и начинает резко убывать при меньших размерах. Оценки показали (см. п. 3.2), что в условиях наших экспериментов средний размер кластеров  $\text{CF}_3\text{I}$  (до облучения) составляет  $N \approx 110$ . Это означает, что при  $\beta = 80\%$  величина  $N$ , по-видимому, убывает до  $N \approx 20$ , т. е. попадает в область размеров, где начинается заметное уменьшение  $\Delta$ . Мы полагаем, что именно этот эффект в основном и отвечает за наблюдаемое в эксперименте падение  $T_{tr}$  в области больших значений  $\beta$ .

Представленные в данной работе результаты исследования распада кластеров  $(\text{CF}_3\text{I})_n$  при резонансном возбуждении связи С–F хромофорных молекул  $\text{CF}_3\text{I}$  ИК-излучением импульсного  $\text{CO}_2$ -лазера дают основание сделать вывод, что этот распад можно рассматривать как процесс последовательного испарения молекул. Измерения показали, что распад кластеров происходит достаточно быстро, — характерное время составляет менее  $10^{-8}$  с. Поэтому для реализованных в данном эксперименте условий (скорость возбуждения, длительность ИК-импульса) процесс испарения проходит в стационарном или близком к нему режиме. Измерения температуры поступательных степеней свободы вылетающих частиц позволяют заключить, что значительного перегрева кластеров не происходит. Максимальное значение  $T_{tr}$  составило 215 К, внутренняя температура  $T$  кластера не сильно отличается от этой величины.

Что касается самого процесса возбуждения кластеров и входящих в них молекул, то возможный уровень возбуждения последних определяется соотношением скоростей ввода энергии и внутрикластерной IVR. В литературе довольно мало данных о величине  $t_{IVR}$  для молекулярных кластеров. В частности, для тримеров DF сообщалось значение  $t_{IVR} \approx 40$  пс. В более крупных кластерах многоатомных молекул это время может быть существенно меньшим и с большой вероятностью оно лежит в субпикосекундном диапазоне. Соответственно, в условиях наших экспериментов хромофорные молекулы скорее всего не возбуждаются выше первого колебательного уровня по моде  $\nu_1$ , откуда энергия быстро релаксирует в колебательные степени свободы кластера. Отметим, что с этой точки зрения процесс поглощения является однофотонным. С другой стороны, кластер как частица может поглотить и поглощает десятки и сотни квантов (при его полном распаде), и в этом смысле поглощение может считаться многофотонным. Поэтому в литературе этот термин используется, что сделано и в настоящей работе.

Прямое исследование динамики мономолекулярного распада кластеров, а, возможно, и внутрикластерной IVR реализуемо, скорее всего, с импульсами фемтосекундной длительности. В этом случае в результате ИК-возбуждения можно рассчитывать и на значительно более сильный нагрев кластеров. «По максимуму», каждая молекула в кластере может поглотить в результате многофотонного ИК-возбуждения энергию  $E \sim D_0$ , где  $D_0$  — энергия диссоциации. Для молекул типа  $\text{CF}_3\text{I}$  это соответствует колебательной температуре  $T \approx 3000$  К. Если время распада кластера будет превышать длительность импульса, то примерно такой же будет и температура кластеров, и в этом случае можно ожидать взрывного типа распада — «теплового взрыва». Будущие эксперименты покажут возможно ли это или, по крайней мере, как далеко можно продвинуться в этом направлении.

## 5. ЗАКЛЮЧЕНИЕ

Исследован процесс диссоциации кластеров  $(\text{CF}_3\text{I})_n$  при резонансном возбуждении входящих в него молекул  $\text{CF}_3\text{I}$  импульсным ИК-излучением  $\text{CO}_2$ -лазера. В качестве метода получения кластеров использовано сверхзвуковое истечение газа из сопла. На основе многофотонной УФ-ионизации частиц разработана методика детектирования этих кластеров и определения их основных характеристик, в том числе среднего размера. Найдены условия, при которых возможно раздельное детектирование как самих кластеров, так и продуктов их распада — свободных молекул  $\text{CF}_3\text{I}$ .

Изучена кинетика диссоциации кластеров  $(\text{CF}_3\text{I})_n$  под действием ИК-излучения. Показано, что выход диссоциации (доля кластеризованных молекул, покинувших кластеры) определяется плотностью потока энергии  $\Phi_{IR}$  (не интенсивностью) прошедшего излучения и характер этой зависимости имеет экспоненциальный вид. На основании проведенных измерений дана оценка времени жизни кластера относительно распада. Его величина составляет менее  $10^{-8}$  с.

Выполнены исследования кинетики разлета образующихся свободных молекул  $\text{CF}_3\text{I}$ . Измерены наиболее вероятная скорость  $V_{M\perp}$  и температура  $T_{tr}$  поступательных степеней свободы этих частиц, а также их зависимость от  $\Phi_{IR}$ . Максимальное значение  $T_{tr}$  составило 215 К.

Дана интерпретация полученных экспериментальных результатов. На основании их анализа

сделан вывод, что для реализованных условий возбуждения (скорость возбуждения, длительность ИК-импульса) распад кластеров  $(\text{CF}_3\text{I})_n$  можно рассматривать как стационарный или близкий к нему процесс последовательного испарения молекул  $\text{CF}_3\text{I}$ ; при этом значительного перевозбуждения этих кластеров не происходит.

Авторы благодарят Г. Н. Макарова за полезные обсуждения. Работа выполнена при финансовой поддержке РФФИ (грант № 07-02-00165).

## ЛИТЕРАТУРА

1. H. Pauly, *Atom, Molecule, and Cluster Beams II. Cluster Beams, Fast and Slow Beams, Accessory Equipment and Applications*, in *Springer Series on Atomic, Optical, and Plasma Physics*, Springer, New York (2000), Vol. 32.
2. *Atomic and Molecular Beam Methods*, ed. by G. Scoles, Oxford Univ. Press, New York (1988), Vol. 1.
3. *Atomic and Molecular Beam Methods*, ed. by G. Scoles, Oxford Univ. Press, New York (1992), Vol. 2.
4. *Clusters of Atoms and Molecules: Theory, Experiment, and Clusters of Atoms*, ed. by H. Haberland, in *Springer Series in Chemical Physics*, Springer, Berlin (1994), Vol. 52.
5. U. Buck, in *Advances in Atomic, Molecular, and Optical Physics*, ed. by B. Bederson and H. Walther, Elsevier, Amsterdam (1995), Vol. 35, p. 121.
6. A. W. Castleman, Jr., K. H. Bowen, Jr., J. Phys. Chem. **100**, 12911 (1996).
7. Г. Н. Макаров, УФН **178**, 337 (2008).
8. B. Simard, S. Denommee, D. Rayner, D. van Heijnsbergen, G. Meijer, and G. van Helden, Chem. Phys. Lett. **357**, 195 (2002).
9. R. E. Miller, Science **240**, 447 (1988).
10. U. Buck, J. Phys. Chem. **98**, 5190 (1994).
11. E. J. Bohac, M. D. Marshall, and R. E. Miller, J. Chem. Phys. **96**, 6681 (1992).
12. D. J. Nesbitt, Ann. Rev. Phys. Chem. **45**, 367 (1994).
13. R. E. Miller, J. Phys. Chem. **90**, 3301 (1986).
14. U. Buck, J. Phys. Chem. **92**, 1023 (1988).

15. V. N. Bagratashvili, V. S. Letokhov, A. A. Makarov, and E. A. Ryabov, *Multiple Photon Infrared Laser Photophysics and Photochemistry*, Harwood Acad. Publ., Chur (1985).
16. V. N. Lokhman, D. D. Ogurok, and E. A. Ryabov, *Chem. Phys.* **333**, 85 (2007).
17. В. Н. Лохман, Д. Д. Огурок, Е. А. Рябов, ЖЭТФ **130**, 1 (2006).
18. P. Downie and I. Powis, *Faraday Discuss.* **115**, 103 (2000).
19. V. N. Lokhman, D. D. Ogurok, and E. A. Ryabov, *Eur. Phys. J. D* **46**, 59 (2008).
20. O. F. Hagen, *Rev. Sci. Instr.* **63**, 2374 (1992).
21. В. Н. Лохман, Д. Д. Огурок, Е. А. Рябов, ЖТФ **75**, 29 (2005).
22. W. Fuss, *Spectrochim. Acta A* **38**, 829 (1982).
23. C. E. Klots, *Z. Phys. D* **20**, 105 (1991).
24. J. Gspann, in *Physics of Electronic and Atomic Collisions*, ed. by S. Dats, North Holland, Amsterdam (1982), p. 79.
25. А. А. Востриков, Д. Ю. Дубов, ЖЭТФ **125**, 222 (2004).